

尹爱国 陈守六

(中国科学院声学研究所) 1990年1月16日收到

本文综述了声纤技术作为一门新学科的发展现状; 并在理论和应用上同光纤技术进行了比较. 作者认为,作为声学波导和光纤技术的学科结合,声纤技术不仅有许多研究,应用价值,而且是很有潜力的传感手段. 尤其在材料的自动监测,无损探伤等方面将有广阔的应用前景.

一、引言

历史上对声学波导的研究着重于各种声波 导的结构,特性及其弹性波传播等理论性分析, 属于声学范畴,未涉及声波导作为传感、监测等 手段的应用研究。

随着光纤技术的兴起,尤其是光纤传感技术在各应用领域的迅速发展,人们自然对具有类似光纤结构的包层纤维声波导,即声纤的研究和应用产生兴趣。声波可以低损耗,低色散地传播于声纤中,其强度、相位、时间延时、分子位移极化取向等皆可随外界物理微扰作用而变化,此即声纤传感技术的机理。相应的,对声纤这种特殊声波导作进一步的理论探索亦是必然的。

本文在论述了声纤技术是声波导理论与光 纤传感技术结合的基础上,较详细地讨论了声 纤技术在传感、材料监测等众多领域应用的可 能性及发展前景。

二、声纤波导的发展与现状

1. 声纤波导理论发展概况

早在 1969年,Waldronth 通过对几种特殊 应用离学 结构声波导的分析,总结了一般结构波导的特性。指出电磁波导中的电磁波与声学波导中的弹性波是不可比拟的,但它们皆有模式按位移函数的性质分类、模谱存在截止现象等类似特点。Waldron 对图 1 中各种波导的研究表明:1) 圆形棒波导中存在三个系列的导模 T_{pq} , P_{pq} , R_{pq} , 即扭转模,弯曲模,径一轴向模,其中 T_{10} 模具有零截止频率。 2) 非均匀圆波 导在 $\rho_1/\mu_2 < \rho_1/\mu_1$ 的充要条件下可传导声模 T_{0q} 、 P_{pq} , R_{0q} , 这里 ρ_1 , μ_1 , ρ_2 μ_2 分别为声纤蕊及包层的密度及切变模量, ρ , q 取整数。 3) 圆形空腔波导中不存在声波的传导模式。

Jai-Iue Lai¹²¹ 在与 Waldron 同时期的 报告中分析了包层棒的简谐波传播,从三维线性各向同性弹性理论得出了复合圆形棒中导模的频率方程,并在相应条件下分别简化为扭转模,弯曲模及径-轴向模的频率方程。 Jai-lue Lai的分析表明,对包层棒中非轴对称运动,其径向、轴向、角向位移是相互耦合的;而轴对称运动却有非耦合的独立纵模,扭转模。

1978年, Thurston^[3] 在综述报告"棒及包层棒中的弹性波"一文中,详尽地分析了包层棒中可能存在的声波模式,存在条件及特性.文章

^{*} 国家目然科学基金资助项目

指出,包层棒中存在导模的必要条件为 V_{s2} V_{s1} , V_{s2} , V_{s1} , V_{s2} , V_{s1} 分别为包层及纤蕊的平面切变波速; T_{0q} , R_{0q} , F_{pq} 为包层棒中传输的主要 有用模式,图二即为各导模按频率的分布。

上述研究结果给出了声纤的波 导 理 论 基础。但在六、七十年代,包层棒波导主要应用于超声延迟线,它具有信号与外界表面相隔离、低色散等优点,并且较大截面的包层棒亦可获得单频传输。 Boyd^[4] 给出了熔融硅包层纤维延迟线的理论分析与实验结果,提出用制作光纤

件为

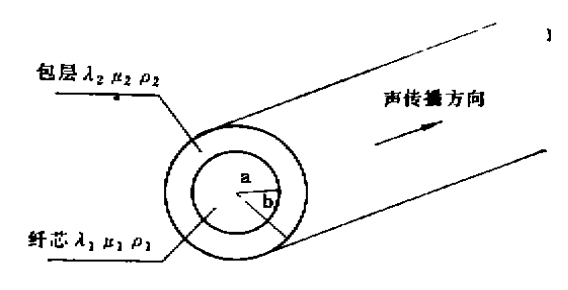
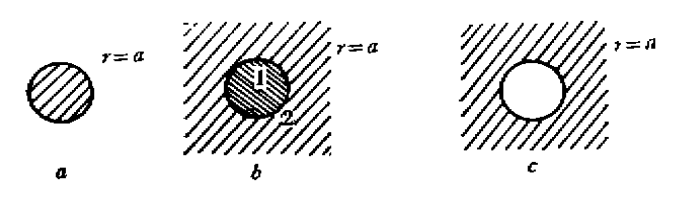


图 3 声纤波导结构



a) 圆形棒波导

b) 非均匀圆波导图 1 声波导横截面

c) 圓形空腔皮导

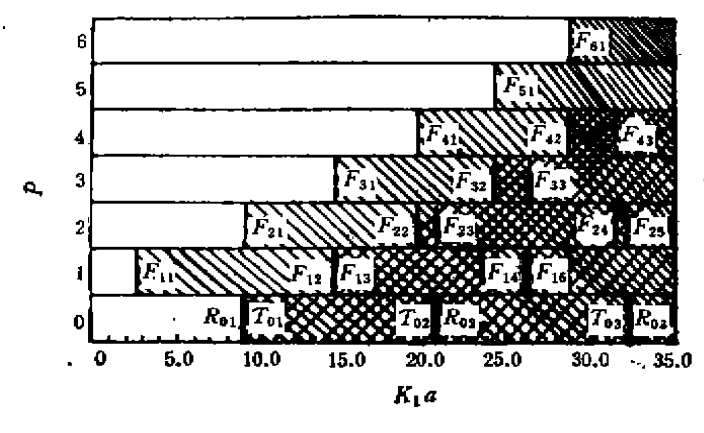


图 2 导模按截止频率的排列

类似的技术来制作包层纤维声延迟线;用适当 压电材料,适当极化方式制得的体波换能器粘 接于纤维端面,即可激发或探测包层纤维中的 特定声模。

2. 声纤波导与光维波导的异同处

近年来,光纤传感技术日趋成熟,促使了光 纤状声波导(图 3)在传感、监测等方面的应用 研究。

因为弱波导光纤亦可用作弱波导声纤,就 首先成为研究人员的考察重点,声纤的弱导条

$$\frac{\rho_1-\rho_2}{\rho_1}\ll 1$$
, $\frac{\mu_1-\mu_2}{\mu_1}\ll 1$:

无限厚包层近似条件为 $b/a \ge 3$ 。在这些条件下,求解下面波动方程:

$$\nabla^2 \varphi - \frac{1}{V_I^2} \frac{\partial^2 \varphi}{\partial t^2} = 0$$
$$\nabla^2 \vec{\Psi} - \frac{1}{V_I^2} \frac{\partial^2 \vec{\Psi}}{\partial t^2} = 0$$

我们即可得到弱导声纤中的扭转模(T), 弯曲模(F)及径-轴向模(R),它们分别与光纤中横电场模(TE)混合模(HE, EH)及横磁场模(TM)相对应,其色散关系,截止条件亦对应相同,如图 4 所示.图中, n_1 、 n_2 分别为光纤纤蕊及包层的折射率, β 为传播常数, R_0 为真空中传播常数, α 为光纤的纤蕊半径。图 5表示对应声模与光模的位移与横向电场分布。上面波动方程中的P,P分别为标量势函数与矢量势函数。

弱导条件下,声纤中除横向导模外,还存在 另一类模,即当满足 $\frac{V_{L_2}-V_{L_1}}{V_{L_1}}\ll 1$ 时,它主

要是纵向的,记作 L_{mm} . 此模是泄漏模,其衰减 特性跟纤蕊与包层的切变声速差 $\triangle V$ 。有关,而 传输特性则与 $\triangle V$ 。无关。 此模在光纤中无对 应模式。

正如 Jen¹⁵¹ 指出,无论在结构上,制作技术上,还是在导波传输特性上,声纤与光纤具有许多相同或相似之外;因而,现有的光纤理论和光

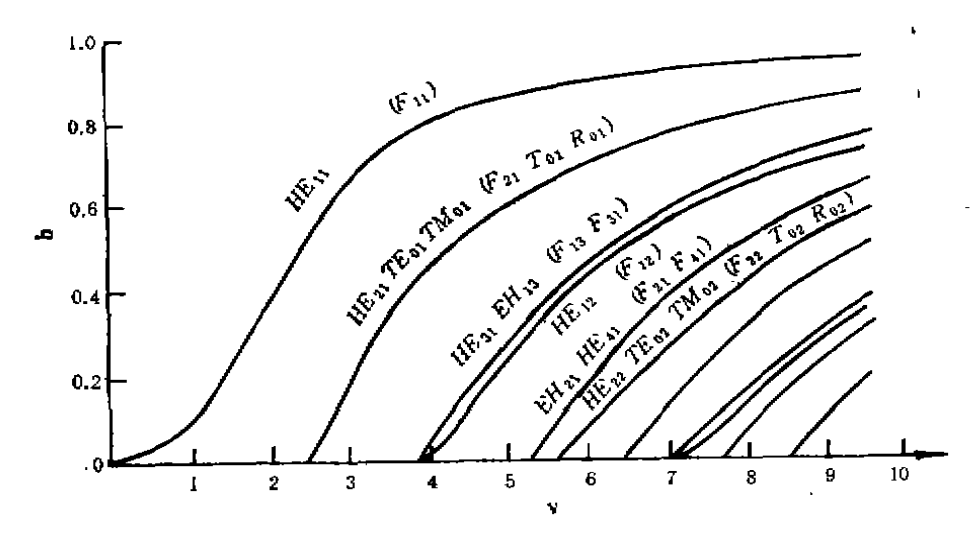


图 4 声波导模色散曲线

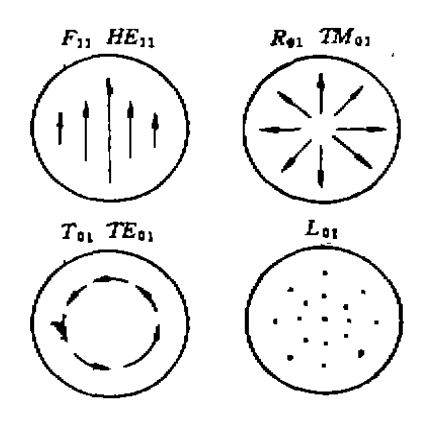


图 5 位移及电场分布

三、声纤技术的应用

1. 几种典型的声纤传感技术

类似于光纤传感器¹⁰,图 6 表示了差分相位型声纤传感器示意图,传感臂置于压力,温度,应变等监测处,接收信号的相位因扰动发生变化.

$$\triangle \theta = \beta \triangle L + L \triangle \beta$$

$$= \beta \triangle L + L \left(\frac{d\beta}{d\mu} \triangle \mu + \frac{d\beta}{d\lambda} \Delta \lambda \right)$$

$$+ \frac{d\beta}{d\rho} \triangle \rho + L \frac{d\beta}{d\alpha} \Delta \alpha$$

应用声学

此处, β 为传播常数, θ 为相位,L 为传感臂长度, α 为纤蕊直径, ρ 为密度, λ 、 μ 为拉姆常数。若有压力变化 $\triangle P$,由弹性理论,得:

$$\triangle L = \varepsilon_s L = -(1-2\sigma)L\triangle P/Y$$

$$\triangle a = \varepsilon_s a = -(1-2\sigma)a\triangle P/Y$$

其中, σ 、Y 分别为声纤材料的泊淞比和杨氏模量。

强度型声纤传感器同光纤传感器一样,可以有许多形式,如微弯曲,瞬衰场,反射型等。图 7 给出以导波反射量来监测样品弹性特性的例子。图中左侧的 S 代表被测试样;右侧的 S 代表传感器的敏感头,当外界环境变化影响传感头的声阻抗变化时,可通过声纤中的反射能量来检测。设反射能量与入射能量之比为:

$$P_r/P = \left(\frac{Z_F - Z_S}{Z_R + Z_S}\right)^2 = \left(\frac{\rho_F V_F - \rho_S V_S}{\rho_F V_R + \rho_S V_S}\right)^2$$

这里, P_r , P 分别为反射声功率与总的人射声功率, Z_r , Z_s 分别为声纤及试样(或传感头)的声阻抗。这样,原则上即可由反射声功率的测量来估计被测试样的声阻抗特性。

传统的声学检测方法,基于声波传播特性(诸如频散,衰减,声速,散射等)与弹性介质的性质有关(诸如弹性常数,粘滞性,应力,应变,密度,温度,颗粒尺寸,裂缝大小等),常用的超声无损检测,声发射技术等即是如此,并已成

功地用于材料科学。但这些方法,不可避免地存在换能器与被测材料表面的声耦合问题;这或多或少要产生声束的散射,颗散等,导致信

图 6 相位型声纤传感器

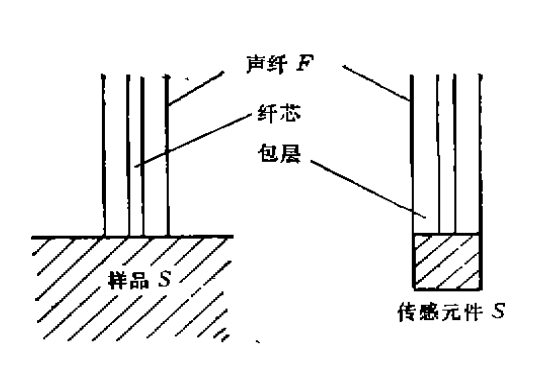


图 7 反射型声纤传感器

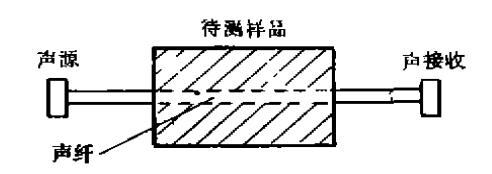


图 8 声纤检测材料特性示意

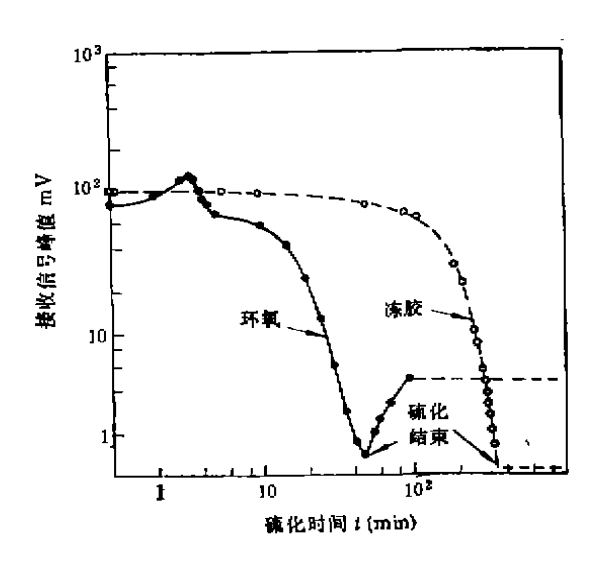


图 9 环氧, 冻胶固化过程曲线

噪比的下降及实验结果解释的困难。对恶劣环境或实验空间受限时,问题会更多些^[7]。

但若用声纤传感技术,把声纤埋于待测材料中(图 8),则上面所说传统声学方法的不足可以避免;且对声纤周围材料特性的变化更敏感.Harrold^[7] 在用声纤监测环氧、冻胶的固化过程实验中,所用声纤直径为 1.5mm,工作频率为74kHz.固化过程完成时,声信号衰减为原先的 1%(图 9),

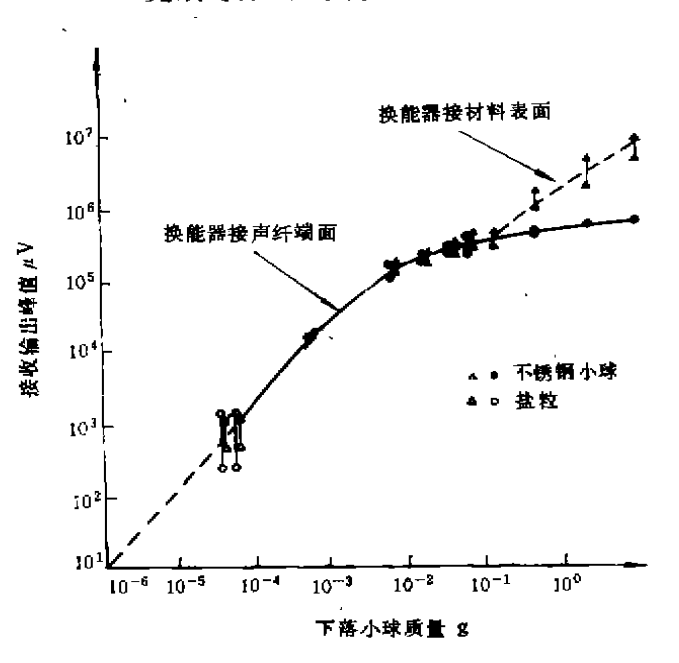


图 10 声纤检测材料应力状态

这表明声纤监测材料固化过程极其灵敏。在另一个实验中,以不锈钢小球或盐粒,自25cm高处落至埋有声纤的环氧--石墨复合材料上,0.1mg重的微粒即可产生 1mv.的电信号(图10)。

2. 发射、接收声信号的耦合技术

声纤中声波的微发与检测,是声纤传感技术中的重要环节。通常用压电材料来制作换能器。与光纤传感技术中仅可用有限的光源频率不同,声换能器的谐振频率可通过改变尺寸来调整,故工作频率选择范围更宽,更方便。现在采用的大致有以下几种耦合方式:

- (1) 换能器通过声匹配胶,粘接于抛光的声纤端面以激发或检测特定模式声波。
- (2) 直接真空溅射薄膜换能器 于 声 纤 端 面。

10 卷 3 期

- (3) 用声透镜将声能聚焦于声纤端面,这 要求声透镜材料与耦合液体介质,液体介质与 声纤波导材料之间的声阻抗能有效匹配。一般 用液态金属作为耦合介质。
- (4) 声能等分声纤耦合器。原理上,这与 光纤耦合器相似,事实上即借用光纤耦合器的 技术来制作.图 11 即为控制声纤耦合器熔接过

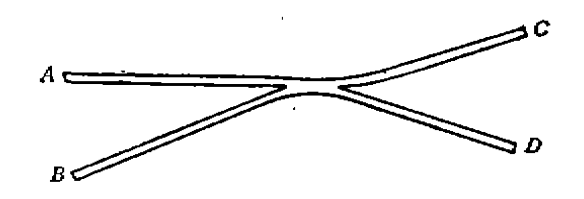


图 11 声纤耦合器

程示意图,一边熔接,一边监测,要使A端输人

的声能等量地由 C, D 端输出。

3. 声纤技术的其它应用

声纤除可用于传感技术与超声延迟 线 外,由于它还存在很强的声光相互作用^[8],还可 制作声-光频偏器,图12给出频偏器示意图,弯曲模声波使得光波模式 LP_{01} 与 LP_{11} 之间 发生 100% 的转换,实现频偏 w_{01}

液蕊声纤¹³¹是一种特殊的声纤波导,其中只能激发 Stoneley 波及轴向-径向模。一般说,液蕊声纤有衰减大,色散强,机械强度低的缺点;但如用特种液体,如镓,水银等作纤蕊,用不锈钢作包层的声纤,不仅可克服上述缺点,而且由于具有较高的温度系数而特别适于作温度传感。

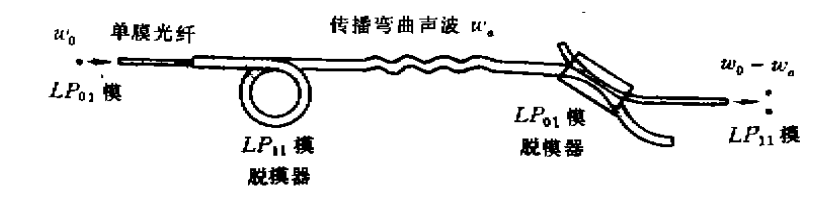


图12 声-光频偏器

声纤波导在医学上也已有应用,主要用作检查活性组织的声敏探针和导管^[10],以及外科手术器具,高频波束成像所必需的微型监听器等^[11]。

四、小 结

声纤技术是最近几年才兴起的新学科,目 前尚属起步阶段;但已在监测材料固化过程及 应力状态等方面,显示出诱人的生命力,

制作光纤,材料需要透明性;但制作声纤,对材料无此要求,所以可供选择的材料更广。 单模声纤的纤蕊可达数毫米,这使得声纤传感器的制作及应用,比光纤传感器要简单些.仿 照光纤制作技术,可采用纤蕊向外扩散包层材料,或包层向内扩散纤蕊材料,或单晶纤蕊外延生长包层及光纤拉丝方法来制作低色散,低损耗,高机械强度的声纤.

声纤不仅能用于固化过程,应力状态的监 应用声学 测,还可实时监测材料内部温度、应力、浓度、结构变化、化学变化等物理与化学状态。可以预言,声纤技术必将成为材料科学研究的重要工具。

参考文制

- [1] Waldron, IEEE Trans. on microwave theory and techniques, MTT, 17-11(1969), 893-904.
- [2] Lai Jai-lue, J. Acous. Soc. Am., 491-1(part 2) (1971), 220-228.
- [3] THurston R. N., J. Acous. Soc. Am., 64-1(1978), 1—37.
- [4] Boyd G. D., IEEE Trans on Sonics & Ultrasonics. SU24-4(1977), 246-252.
- [5] Jen C. K. IEEE 1985 Ultrasonics Symposium, 1128— 1133.
- [6] Hocker G. B. Appl. Opt., 18-9(1979), 1415-1443.
- [7] Harrold R. T., Polymer Engineering and science, 28-5(1986),, 367-372.
- [8] Kim B. Y., Opt. Lett., 11-6(1986), 389-391.
- [9] Safaai-jazi A., J. Acous. Soc. Am., 81-5(1987), 1273-1278.
- [10] Nilholson N. C., Ultrasonies, 26-1(1988), 27-30.
- [11] Woodward B., J. Biomed. Eng., 5(1983), 343-348.